# Роль резидентных макрофагов в механизме клеточной пролиферации и опухолевого роста

Панин Л.Е.

## Role of resident macrophages in mechanisms of cells proliferation

### and cancerogenesis

Panin L.Ye.

НИИ биохимии СО РАМН, г. Новосибирск

© Панин Л.Е.

#### Введение

Известно, что в условиях функционального напряжения в отдельных органах и системах усиливаются деструктивные процессы, скорость которых характеризует восстановительную регенерацию тканей. При любых воздействиях на организм, приводящих к повреждению тканей, запускается процесс репаративной регенерации, в основе которого лежит усиление клеточной пролиферации. Общим для всех процессов является усиление биосинтеза белка [11].

Ранее было показано, что процессы регенерации в организме зависят от активации резидентных макрофагов [3]. Захватывая продукты деградации клеток, они кооперативно поглощают ЛПВП и стероидные гормоны. В клетке последние восстанавливаются с образованием тетрагидросоединений, а ЛПВП при участии лизосомальных гидролаз разрушаются. Освободившийся аполипопротеин А с высоким аффинитетом образует комплекс со стероидными гормонами, который попадает в интерстициальное пространство, а затем в соматические клетки. Происходит усиление экспрессии генов и скорости биосинтеза белка в них [7]. Однако было не ясно, лежит ли этот механизм в основе редупликации ДНК и клеточной пролиферации.

Самой высокой пролиферативной активностью обладают опухолевые клетки. Известно, что формирование опухоли во многом зависит от активности инфильтрующих их макрофагов [15]. Но оставалось не ясным, в чем проявляется участие макрофагов в усилении клеточного роста и от каких факторов это зависит. Исследования влияния липопротеинов на биосинтез белка и ДНК в опухолевых клетках, по-видимому, никем ранее не проводились. Однако встречаются работы, посвященные изучению влияния ЛПВП на пролиферацию опухолевых КЛЕТОК. Так, м. Rothender И G. Kostner [19] ПОКАЗАЛИ, что опухолевые клетки грудной железы, как гормонозависимые, так и гормононезависимые, активно пролиферируют под влиянием ЛПВП. ЛПВП, стимулировали включение меченого тимидина в ДНК опухолевых клеток линии А549, а также усиливали их пролиферацию [14]. В клетках линии <sub>Нер G2</sub> ЛПВП повышали скорость образования мРНК Аполі [18]. Механизм этого влияния на опухолевые клетки до сих пор не раскрыт.

В данной работе была поставлена задача показать, что в основе усиления пролиферативных процессов в нормальных и опухолевых клетках лежит активация макрофагов под влиянием ЛПВП и стероидных гормонов, связанная

с формированием биологически активного комплекса «тетрагидрокортизол — Aпо $_{Al}$ ».

#### Материал и методы

Выделение липопротеинов. Исследование выполнено на крысах линии Вистар (n = 50) массой 180-200 г, содержащихся на стандартной лабораторной диете. Липопротеины сыворотки крови выделяли с помощью ультрацентрифугирования после освобождения от хиломикронов ЛПОНП Получали соответственно [16].  $(0.94 < d < 1.006 \Gamma/MЛ).$ ЛПНП  $(1,006 < d < 1,063 \ \Gamma/MЛ), \ ЛПВШ (1,063 < d < 1,125 \ \Gamma/MЛ)$ ЛПВП. MID) (1.125 < d << 1,21 г/мл). В дальнейшем работали с фракцией ЛПВП<sub>3</sub>. Делипидирование ЛП проводили охлажденной смесью хлороформа и метанола (1:1) С последующей многократной отмывкой эфиром. Смесь Апо-ЛПВП наносили на колонку  $(1,6 \times 100 \text{ cm})$  с сефарозой 6B CL «Pharmacia» (Швеция) и элюировали о,от моль трис-нег буфером, рН = 8,6, содержащим 6 моль мочевины, 0,01% азида натрия и 1 ммоль фенилметан-сульфонила фторида (ФМСФ). Профиль элюции регистрировали на УФ-детекторе 2151 LKB (Швеция). Проверку чистоты Апол осуществляли с помощью электрофореза в полиакриламидном геле с додецилсульфатом натрия. Белок определяли по Лоури [17].

Выделение клеток печени. Клетки печени получали по методу Р. Seglen [20] В нашей модификации, используя рециркуляционную перфузию органа 0,03%-м раствором коллагеназы. После диссоциации ткани гепатоциты отделяли от НП-клеток с помощью дифференциального центрифугирования. Подсчет клеток проводили в камере Горяева. Жизнеспособность их оценивали методом исключения трипанового синего, а чистоту клеточных фракций определяли с помощью световой и электронной микроскопии. Полученные клетки ресуспендировали в среде DMEM, pH = 7,4, содержащей 15 ммоль HEPES, 10%эмбриональной сыворотки крови и 50 мкг/мл гентамицина. Инкубацию проводили в СО,-инкубаторе в течение 24 ч, используя 24-луночные планшеты «Linbro» (Германия), покрытые коллагеном і типа. Конечная плотность гепатоцитов в первичной культуре составляла 700 клеток на 1 мм².

Измерение скорости биосинтеза ДНК и белка в культуре клеток. За 2 ч до окончания инкубации в лунки с клетками добавляли по 20 мкл Н<sub>3</sub>-тимиди-наили С<sub>14</sub>-лейцина из расчета 3,7 ⋅ 104 Бк/мл. Реакцию останавливали добавлением 0,2N раствора NaOH. Для измерения радиоактивности ДНК содержимое каждой лунки переносили на GF/C фильтры и последовательно промывали 10%-й трихлоруксусной кислотой (ТХУ) и 95%-м этанолом. Для измерения радиоактивности белка содержимое лунки переносили на фильтр FN-16, обработанный 0,1 моль раствором лейцина в 10%-м растворе ТХУ. Затем фильтры последовательно промывали раство-ТХУ и спиртоэфирной смесью. диоактивность образцов измерялась на жидсцинтилляционном счетчике (США) и рассчитывалась в импульсах в минуту на лунку.

Получение РНК-полимеразы. Препарат РНКполимеразы фага Тл выделяли из клеток E. coli, содержащих клонированный ген РНКполимеразы из бактериофага Тл. Чистота препарата составила не менее 90% по результатам sps-ПА-АГ-электрофореза. Удельная активность фермента составляла 20 000 ед/ОЕ260. За единицу активности РНК-полимеразы принимали количество фермента, катализирующее включение 1 нмоль нуклеозидтрифосфата в кислотонерастворимый продукт за 1 ч при температуре 37 °C в реакционной смеси 100 мкл следующего состава: 40 ммоль трис-нсі, рН = 7,5, 6 ммоль мдСь, 2 ммоль спермидин-НС1,10 ммоль дитиотреитол, 1 ммоль нуклеозидтрифосфаты (каждый из 4), 1 мкг плазмиды, содержащий Т7-промотер.

Выбор сайта связывания комплекса «тетрагид-рокортизол ( $m\Gamma \kappa$ ) — AnoAl» с ДНК. Компьютерный поиск по базам данных нуклеотидных последовательностей млекопитающих (Gen. Bank, DNA Library) показал, что в структуру многих генов входит последовательность типа  $cc(gcc)_n$ . В структуре гена аполипопротеина Aloha имеет вид  $CC(gcc)_3$ . Эта последовательность

ность, но с числом повторов 5, была выбрана для анализа на специфичность взаимодействия с комплексом «тГк — Аполі». Для сравнения был также взят фрагмент кДНК регуляторной области гена цитохрома Р-450 и гомогенный олигонуклеотид (Т19). Все последовательности имели вид:

- 1) 5'-CCGCCGCCGCCGCC-3';
- 2) 5'-ATCTTTAACTGATGAACTTCT-3';
- 3) 5'-TTTTTTTTTTTTTTTT-3'.

Малоугловое рентгеновское рассеяние (МУРР). Для анализа эффектов взаимодействия эукариотической ДНК и синтетических олигонуклеотидов с комплексом «тГк — Аполь» использовали метод МУРР. Измерение малоугловых рентгенограмм проводили на дифрактометре фирмы Siemens (Германия). Длина волны рентгеновского излучения X = 0.154 нм ( $CuK\alpha$ ). Использовали гомогенные препараты Аполі, РНК-полимеразы. ДНК и олигонуклеотидов с исходными концентрациями соответственно 0,40; 4,16; 3,12 и 1,52 мг/мл. Малоугловые рентгенограммы получали в угловом диапазоне:  $0,024 < h < 3,423 \text{ HM}^{-1}$ , где  $h = 4\pi \sin(\theta)/\lambda$ ,  $2\theta$  — угол рассеивания. В рентгенограммы вносили поправки на фоновое рассеивание, коллимацию; проводили их сглаживание.

SI-нуклеазный анализ взаимодействия комплекса «тГк — AnoAI» с ДНК. Комплекс «глю-кокортикои-

ды - Апоаі» получали, выдерживая их смесь в молярном отношении 2 : 1 в калий-фосфатном буфере 0,05 моль, рН = 7,4 при комнатной температуре в течение 5 мин. Полученный комплекс добавляли к 500 нг нативной ДНК, растворенной в буфере для si-нуклеазы в соотношении 5 моль белка на 1000 п.н. К полученному раствору добавляли si-нуклеазу в концентрации 0,2 ед активности и инкубировали в течение зо мин при температуре 30 °C. Электрофорез полученных фрагментов ДНК проводили в 0,3-, 0,5- и 1%-м агарозных гелях [2]. В качестве маркеров использовали ДНК фага х и ее рестрикты. После электрофореза гель окрашивали в растворе бромистого этидия и фотографировали ультрафиолете. Фотопленки сканировали на сканере фирмы «Кора» (Новосибирск).

Исследование опухолевых клеток. В качестве экспериментальной модели использовали культуру клеток асцитной гепатомы мышей линии на-і, полученную В.И. Калединым (ИЦиГ СО РАН, г. Новосибирск). Свежевыделенные клетки гепатомы ресуспендировали в среде крмі-1640, содержащей 10 ммоль нерез-буфера, 2 ммоль Lглютатиона и 50 мкг/мл гентамицина, наносили на 24-луночные планшеты «Linbro» (США). Инкубацию проводили в атмосфере СО, (5%) и воздуха (95%) при температуре 37 °C в течение 1 сут. Для получения культуры без макрофагов (прилипающих клеток) исходную культуру инкубировали 1 ч; после адгезии макрофагов содержимое лунки осторожно переносили в другой планшет и продолжали инкубировать в течение 1 сут. Плотность клеток в первом случае составляла 5 · 103 на 1 мм2, во втором случае -3,5 · 10<sup>3</sup> на 1 мм<sup>2</sup>. За 2 ч до окончания инкубации в лунки добавляли по 20 мкл Н,-тимидина (для определения скорости синтеза ДНК) или С14лейцина (для определения скорости биосинтеза белка). Условия измерения радиоактивности такие же, как и для нормальных гепатоцитов.

Достоверность полученных результатов оценивали с помощью t-критерия Стьюдента при уровне значимости p < 0,05.

#### Результаты

Впервые показано, что восстановленная форма кортизола — тетрагидрокортизол — является биологически активной формой гормона. Она образуется в клетках Купфера при участии 5а- и 5р-редуктаз и принимает участие в регуляции экспрессии генов. Данный эффект связан с усилением биосинтеза как ДНК, так и белка (табл. 1). Однако биологическая активность гормона проявляется только тогда, когда он образует комплекс с Апоаі. Данный белок входит в структуру ЛПВП, и освобождается при дезинтеграции последних во вторичных лизосомах клеток Купфера под влиянием лизосомальных протеиназ. В данном случае Апол выполняет роль адресного переносчика тетрагидрокортизола в ядро для дальнейшего взаимодействия с депротеинизированными участками ДНК. Эта версия была проверена с помощью МУРР.

Таблица  $_1$  Влияние комплекса «тетрагидрокортизол — AпоAI» на скорость биосинтеза ДНК и белка в первичной культуре гепатоцитов ( $M\pm m$ )

Условия инкубации	Скорость включения Н₃-тимидина в ДНК, имп. ⁄ мин на лунку		Скорость включения С <sub>н</sub> -лейцина в белок, имп./мин на лунку	
	Без Апоаі	С Апоаі	Без Апоаі	С Апоаі
Контроль	4459 ± 157	3320 ± 511	760,0 ± 4,7	386,0 ± 21,1
Тетрагид-				
рокортизол	3393 ± 333*	4928 ± 115*, *	692,0 ± 4,7	1098,0 ± 107,4*, *

Примечание. \* - p < 0,05 по сравнению с контролем:

Ранее метод МУРР с успехом применялся для получения информации о механизме молекулярных взаимодействий, для определения стехиометрии этого взаимодействия, констант равновесия макромолекулярных комплексов, структурных и весовых характеристик макромолекул и их агрегатов [21]. Анализ полученных с помощью МУРР данных показал, что препараты используемых в работе РНК-полимеразы, Аполі и нативной ДНК были достаточно монодисперсны. Структурные характеристики Аполі и нативной ДНК из печени крыс были определены ранее [8, 9]; тл-специфическая РНК-полимераза содержала одну субъединицу с молекулярной массой 110 кДа [13].

Известно, что о целостности вторичной структуры ДНК можно судить по наличию дифракционного максимума в области углов  $h \approx 2,66$  нм<sup>-1</sup> на рентгенограмме МУРР, соответствующего диаметру двойной цепи (2,2 нм). Из рис. 1 видно, что при  $h \approx 2,7$  нм<sup>-1</sup> на рентгенограммах МУРР для препаратов нативной ДНК и для смесей ДНК с Апоы и РНК-полимеразой без тГк четко наблюдается дифракционный максимум, а в случае аналогичных смесей в присутствии тГк величина пика достоверно снижалась. Это свидетельствует о плавлении вторичной структуры ДНК в результате взаимодействия ее с комплексом «тГк — Аполі».



Рис. 1. Рентгенограммы МУРР смесей ДНК с Апоаl и РНК-полимеразой без ТНС и в присутствии ТНС. Концентрации: ДНК — 0,043 мкмоль; Апоаl — 1,22 мкмоль; ТНС — 2,55 мкмоль; РНК-поли-

**мераза** — 0,568 **мкмоль** 

В полученных выше результатах оставалась неясной область взаимодействия комплекса «тГк — Аполі» с ДНК. Поиск вероятных последовательностей по международным базам данных показал присутствие цис-элемента типа (GCC), в структуре гена AnoAl человека. Аналогичная последовательность выявлена в регуляторных областях многих генов млекопитающих и человека. Дальнейшие исследования были проведены на трех синтетических олигонуклеотидах (см. выше). При используемой в работе точности измерений интенсивностей МУРР заметное взаимодействие Аполі отмечено только с олигонуклеотидом-і.

В отсутствие тГк взаимодействие олигонуклеотида- с Апол существенно слабее. Характер изменения значений а J(0) показал, что в сме-

 <sup>–</sup> по сравнению со скоростью без Апоаі.

сях происходит образование комплексов исходных макромолекул.

Для оценки максимальной стехиометрии комплекса, образующегося в результате взаимодействия олигонуклеотида (s) с Апоа (P), была использована кооперативная равновесная схема, разработанная ранее [12].

```
Kmn  mP + nS \leftrightarrow PmSn   Kmn = [P]^m[S]^n/[PmSn]
```

R(m,n,Kmn) =  $2/p\Sigma I \Delta Ii(0) - \Delta Ji(0) I/\Delta Ii(0) + \Delta Ji(0)$ , где Kmn — константа диссоциации комплекса PmSn; [P], [S], [PmSn] — равновесные концентрации белка, олигонуклеотида и комплекса соответственно; R — критерий оптимизации;  $\Delta Ii(0)$ ,  $\Delta Ji(0)$  — экспериментальные и модельные значения разностных интенсивностей рассеивания под нулевым углом [22].

Минимальное значение критерия в соответству-

ет стехиометрии образующегося комплекса 1:1 (T = 1,  $\Pi$  = 1) при значении константы диссоциации Kmn = 60,1 МКМОЛЬ (Касс = 1,66 · 106 МОЛЬ

Таким образом, впервые описано специфическое взаимодействие Аполі с олигонуклеотидом сс(GCC)5 и определены структурные характеристики этого олигонуклеотида и их комплексов с Апол в присутствии тГк. При замене тГк на кортизол и при отсутствии тГк константа диссоциации увеличивалась в несколько раз. Связывание Апол с другими олигонуклеотидами оказалось достаточно слабым, т.е. подтверждается предположение, что комплексы «тГк Аполі» при взаимодействии с ДНК связываются с участками цепи, имеющими структуру (GCC)<sub>n</sub>, что и приводит к разрыву водородных связей между парами азотистых оснований ДНК. Локальная денатурация ДНК и расплетание двойной цепи являются необходимым условием для взаимодействия с РНК-полимеразой и усиления экспрессии генов.

О появлении однонитевых участков ДНК при взаимодействии ее с комплексом «тГк — Аполі» можно судить по взаимодействию с sі-нуклеазой. Показано значительное увеличение числа sі-нуклеазочувствительных участков в нативной

ДНК, полученной из печени крыс под влиянием данного комплекса. Комплекс Аполі с невосстановленной формой гормона - кортизолом не увеличивал заметно количество ы-нуклеазочувствительных участков. Добавление к ДНК АпоА в отсутствие лиганда также не приводило к изменению распределения и количества однонитевых участков. Полученные результаты свидетельствуют о том, что ы-нуклеазочувствительные участки, появляющиеся в ДНК под влиянием комплекса «тГк - Апоаі», неравномерно распределены в структуре макромолекулы. Однако при определенном соотношении ДНК, комплекса «тГк — Апоаі» и sі-нуклеазы удается выявить определенную периодичность в распределении сайтов связывания комплекса с ДНК, т.е. один сайт приходится на 5,5 и 6 тыс. п.н. соответственно.

В связи с тем что связывание ДНК с комплексом «гормон — Апоаі» ранее проводили в буфере с рН = 7,5 [5], а оптимум рН для ѕінуклеазы составляет 5,0 [2], в данной работе исследования выполняли как в том, так и в другом буфере. Оказалось, что при замене буфера картина расщепления ДНК ѕі-нуклеазой в присутствии комплекса не изменилась.

Ранее было показано, что комплекс «гормон — Апоаі» активно формируется при pH = 5—8 [4]. В этом же интервале pH осуществляется его взаимодействие с ДНК, что указывает, вероятно, на очень малый вклад электростатических связей как в образование самого комплекса, так и в его взаимодействие с ДНК. По-видимому, определяющую роль здесь играют гидрофобные взаимодействия, не исключено также участие и водородных связей. Данный вывод позволяет предполагать, что связывание комплекса с ДНК осуществляется по малой бороздке.

Также были исследованы различные соотношения гормона и Апол в комплексе. Оказалось, что соотношение два гормона (тГк) на одну молекулу Апол является самым оптимальным для взаимодействия комплекса с ДНК.

Выявленные молекулярные механизмы усиления биосинтеза ДНК и белка в первичной культуре нормальных гепатоцитов под влиянием глюкокортикоидов и ЛПВП в дальнейшем

изучались на культуре опухолевых клеток. Исследования проводились на клетках мышиной гепатомы на-і [1]. Эта клеточная линия получена из печени мыши-самца линии А/Не, которой вводился ортоаминоазотолуол после перевода ее в асцитную культуру (рис. 2).

Оказалось, что в культуре клеток гепатомы в отсутствие макрофагов совместное добавление кортизола и ЛПВП не оказывало влияния на биосинтез ДНК и белка. Добавление кортизола и ЛПВП к исходной культуре клеток гепатомы значительно усиливало синтез как ДНК, так и белка (табл. 2).

В свете изложенных данных это означает, что перитонеальные макрофаги, которые всегда присутствуют в асцитной опухоли мышей, активно захватывают

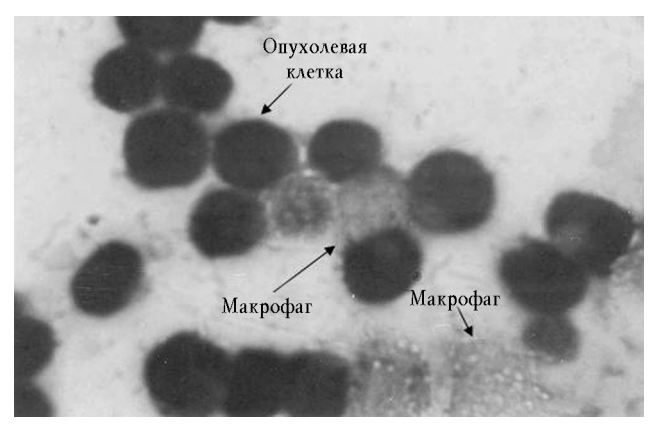


Рис. 2. Клетки асцитной гепатомы НА-1. Окраска по Романовскому—

Гимзе. Ув. 1800

Таблица  $_2$  Влияние кортизола и ЛПВП на скорость биосинтеза ДНК и белка в культуре клеток асцитной гепатомы мышей линии НА-I ( $M\pm m$ )

		•	•		
Условия	Скорость в	зключения	Скорость включения		
инкубации	Н₃-тимиди	на в ДНК,	С₁₄-лейцина в белок,		
	имп./мин на 1 мг бел-		имп.∕мин на ₁ мг белка		
	ка				
	С макро-	Без макро-	С макро-	Без макро-	
	фагами	фагов	фагами	фагов	
Контроль	115,0 ± 8,0	81,0 ± 9,0	4408,0 ± 376,0	3164,0 ± 98,0	
Кортизол	153,0 ± 7,0*	77,0 ± 3,0	6610,0 ± 351,0*	3206,0 ± 107,4	
и ЛПВП					

<sup>\*</sup> *p* < 0,05 по сравнению с контролем.

кортизол и ЛПВП и формируют биологически активный комплекс «т $\Gamma$ к — Апо $_{\rm Al}$ ». Последний и

запускает механизм усиления биосинтеза белка и ДНК, описанный выше. Ранее было показано, что в сокультуре гепатоцитов и макрофагов добавление кортизола и ЛПВП не оказывало усиливающего влияния на синтез белка без стимуляции макрофагов липополисахаридами (ЛПС) [10]. В переживающих срезах печени одновременное добавление кортизола и ЛПВП значительно усиливало биосинтез белка без добавления ЛПС [6]. Взаимодействия макрофага и гепатоцита в условиях регенерации представлены на рис. 3.

В переживающих срезах макрофаги стимулируются продуктами клеточного повреждения, которые образуются в процессе приготовления срезов. Оказалось, что в культуре клеток гепатомы также не обязательно стимулировать макрофаги, чтобы повысить захват ими кортизола и ЛПВП для дальнейшего образования биологически активного комплекса «тГк — Апол». В связи с этим можно полагать, что опухолевые клетки сами синтезируют какие-то продукты, способные стимулиро-

вать макрофаги. Данное обстоятельство и определяет программу деятельности макрофагов, направленную на повышение пролиферативной активности клеток гепатомы. В таком случае достаточно появиться хотя бы одной клетке в результате мутации, чтобы процесс клеточного роста при участии макрофагов стал необратимым.

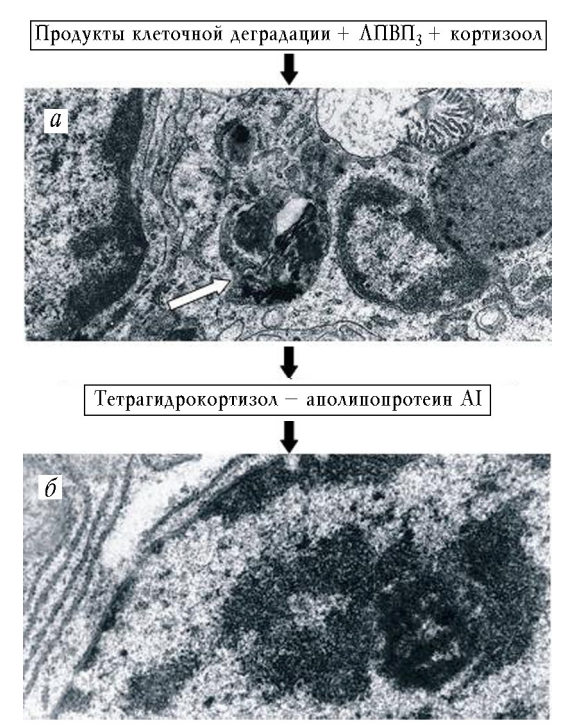


Рис.  $_3$ . Электронная микроскопия: a — клетка Купфера. Видна вторичная лизосома (белая стрелка), содержащая продукты клеточной деградации, ЛПВП $_3$ , меченные коллоидным золотом и нагруженные кортизолом;  $\delta$  — гепатоцит, ядрышковый аппарат. Усиленное образование предшественников рибосом под влиянием комплекса «тетрагидрокортизол — АпоA1»

#### Заключение

Таким образом, в настоящем исследовании вскрыты молекулярные механизмы, лежащие в основе клеточной пролиферации и опухолевого роста. Показано, что предпочтительным сайтом связывания комплекса «тГк — Апоаі» с ДНК является последовательность типа cc(gcc)<sub>в</sub>. Взаимодействие комплекса с ДНК в этих участках приводит к расплетанию двойной цепи, что и ведет к инициации взаимодействия ее с РНКполимеразой. Впервые с помощью МУРР даны характеристики РНК-полимеразы и комплексов ее с нативной ДНК в присутствии Аполі и тГк. Установлено, что в образовании комплекса «тГк - Апоаі» важную роль играют резидентные макрофаги. Последние участвуют в восстановлении стероидных гормонов с образованием тетрагидросоединений, в дезинтеграции ЛПВП с освобождением Апол и образованием биологически активного комплекса «тГк — Аполі». Впервые показано, что тетрагидрокортизол является биологически активной формой гормона, участвующей в усилении экспрессии генов в соматических клетках, при этом Аполи используется для направленного транспорта гормона в ядро. Данный механизм играет важную роль в пролиферации как нормальных, так и опухолевых клеток.

#### Литература

- 1. Каледин В.И., Серова И.А., Целлариус Ю.Г. и др. Исследования по индукции и метастазированию злокачественных опухолей у экспериментальных животных. Новосибирск, 1984. С. 98–124.
- 2. *Маниатис Т., Фрич Э., Сэмбрук Дж.* Методы генетической инженерии. Молекулярное клонирование. М. 1984.
- 3. Панин Л.Е. // Бюл. СО РАМН. 1998. № 3. С. 11-23.
- 4. *Панин Л.Е.*, *Биушкина Н.Г.*, *Поляков Л.М*. БЭБиМ, 1992. Т. 112. С. 34–36.
- 5. Панин Л.Е., Гимаутдинова О.П., Поляков Л.М., Наякшина Т.Н. Молекулярная биология. 1998. Т. 112. С. 34–36.
- 6. Панин Л.Е., Маянская Н.Н. Лизосомы: роль в адаптации и восстановлении. Новосибирск, 1987.
- 7. Панин Л.Е., Тузиков Ф.В., Тузикова Н.А. и др. // Биоорганическая химия. 2001. Т. 27. № 2. С. 114–119.
- 8. Панин Л.Е., Тузиков Ф.В., Тузикова НА. и др. // Биофизика. 2000. Т. 45. С. 611-619.
- Ланин Л.Е., Тузиков Ф.В., Тузикова Н.А. и др. // Молекулярная биология. 1999. Т. 33. С. 1–6.
- 10. Панин Л.Е., Усынин И.Ф., Харьковский А.В., Трубицына О.М. // Вопр. мед. химии. 1994. Т. 40. № 4. С. 6-8.
- 11. Саркисов Д.С. Очерки по структурным основам гомеостаза. М., 1977. 224 с.
- 12. *Тузиков Ф.В., Тузикова Н.А., Вавилин В.И. и др. //* Молекулярная биология. 1991. Т. 25. С. 740–751.
- 13. Уотсон Д. Молекулярная биология гена. М., 1978.
- 14. Favre G., Tazi K.A., Gaillard F. et al. // J. Lipid Res. 1993. V. 34. P. 1093-1096.
- Giormo R., Ringel S.P. // Pathol. Immunopathol. Res. 1986.
   № 5. P. 491–499.
- 16. *Hatch F.T.*, *Lees R.S.* // Advanc. Lipid Res. 1968. V. 6. P. 2-68
- 17. Lowry O.H., Rosebrough N.J., Farr A.L., Randall R.J. // J. Biol. Chem. 1951. V. 193. P. 265-275.
- 18. Monge J.C., Hoeg J.M., Law S.W., Brewer H.B. //
  FEBS Letters. 1989. V. 243. № 2. P. 213–216.
- Rothender M., Kostner G. // Int. J. Cancer. 1989. V. 43.
   R. 875–879
- 20. Seglen P. Methods of Cell Biology. N.Y., 1968. V. 13. P. 80-83.
- 21. Tuzikov F.V., Zinoviev V.V, Malygin E.G. et al. // FEBS Letters. 1988. V. 232. P. 107–110.
- 22. Tuzikov F.V., Zinoviev V.V., Vavilin V.A., Malygin E.G. // Biopolymers. 1996. V. 38. P. 131–139.